

Homework 2 (Due date: 10/04)

HW2.1: (30%)

請參考課本，解釋 CMOS 製程發展(通道長度變小)中，

- (a) Constant-Field Scaling 對元件模型的影響。
- (b) Constant-Voltage Scaling 對元件模型的影響。
- (c) 上述兩種製程微縮(Scaling)準則對類比電路設計的影響。

HW2.2: (40%)

- (a) 請寫出課本提到的造成 Threshold Voltage 變化是受到那些效應的影響，並用文字或數學式輔助說明其原因？
- (b) 請利用網路上找到的資源作為參考資料(並非是教科書或是上課講義)，寫出 output impedance variation (r_{DS} 會因為 V_{DS} 的大小而改變)是基於那些效應？本題可以直接抄寫參考資料，但請註明出處。

HW2.3: (30%)

利用課本 Eq. (17.30)，計算一個金氧半場效電晶體(MOSFET) 的轉導 (Transconductance)。證明下式為轉導之表示式。

$$g_m = \frac{I_D}{V_{GS} - V_{TH}} \left[1 + \frac{1}{1 + \left(\frac{\mu_0}{2v_{sat}L} + \theta \right) (V_{GS} - V_{TH})} \right]$$

Eq. (17.30)

$$I_D = \frac{1}{2} \mu_0 C_{ox} \frac{W}{L} \frac{(V_{GS} - V_{TH})^2}{1 + \left(\frac{\mu_0}{2v_{sat}L} + \theta \right) (V_{GS} - V_{TH})}$$

HW 2.1

a.

1. 電晶體的尺寸微縮 (包含長度、寬度、深度)
2. 減少 Power supply 及 V_{th} 的大小
3. 增加摻雜的濃度 (基於要在體積變小的情況下維持相同的電荷量，因此得增加摻雜濃度)

假設 scaling factor α

$$I_{D, scale} = \frac{1}{2} \mu (\alpha C_{ox}) \left(\frac{W/\alpha}{L/\alpha} \right) \left(\frac{V_{GS}}{\alpha} - \frac{V_{TH}}{\alpha} \right)^2$$
$$= \frac{1}{\alpha} \frac{1}{2} \mu C_{ox} \left(\frac{W}{L} \right) (V_{GS} - V_{th})^2 \quad \text{電流變小 } \frac{1}{\alpha} \text{ 倍}$$

$$W_{d, scale} \stackrel{(V_R \gg \phi_B)}{\sim} \sqrt{\frac{2\epsilon_{Si}}{q} \left(\frac{1}{\alpha N_A} + \frac{1}{\alpha N_D} \right) \frac{V_R}{\alpha}} = \frac{1}{\alpha} \sqrt{\frac{2\epsilon_{Si}}{q} \left(\frac{1}{N_A} + \frac{1}{N_D} \right) V_R}$$

空白區寬度縮小 $\frac{1}{\alpha}$ 倍

$$C_{ch, scale} = \frac{W}{\alpha} \frac{L}{\alpha} (\alpha C_{ox}) = \frac{1}{\alpha} W L C_{ox}$$

通道電容變小 $\frac{1}{\alpha}$ 倍

也就是說 C_{GS} , C_{GD} 會一起變小 $\frac{1}{\alpha}$ 倍

$$C_{DB}/C_{SB, scale} = \frac{W}{\alpha} \frac{E}{\alpha} (\alpha C_j) + 2 \left(\frac{W}{\alpha} + \frac{E}{\alpha} \right) C_{jsw}$$

$$= \frac{1}{\alpha} [WE C_j + 2(W+E)C_{jsw}]$$

寄生电容 C_{DB} 及 C_{SB} 缩小 $\frac{1}{\alpha}$ 倍

$$P_{scale} = f C V^2 = f \left(\frac{C}{\alpha} \right) \left(\frac{V}{\alpha} \right)^2 = \frac{1}{\alpha^3} f C V^2$$

对静态数位电路而言功耗减少 $\frac{1}{\alpha^3}$ 倍

$$T_{d, scale} = \frac{\frac{C}{\alpha} \times \frac{V}{\alpha}}{\frac{I}{\alpha}} = \frac{1}{\alpha} \frac{CV}{I}$$

delay time 缩短为原来的 $\frac{1}{\alpha}$ 倍

$$g_{m, scale} = \mu (\alpha C_{ox}) \frac{W/\alpha}{L/\alpha} \frac{V_{OV}}{\alpha} = \mu C_{ox} \frac{W}{L} V_{OV}$$

$$r_{o, scale} = \frac{1}{(\alpha \lambda) \frac{I_0}{\alpha}} = \frac{1}{\lambda I_0}$$

$$P_{scale} = I V = \left(\frac{I}{\alpha} \right) \left(\frac{V}{\alpha} \right) = \frac{1}{\alpha^2} V I$$

对静态 g_m 、 r_o 来说不会改变，实际上会因

short channel effect (SCE) 有所改变

功耗的部分实际上为了满足 skew 的要求电流依然需要拉高，所以也不会真的是 $\frac{1}{\alpha^2}$ 倍。

以上皆为 constant-field-scaling

b.

其實就是固定電壓後，將電晶體尺寸做微縮，但在相同電壓下，把通道長度變小將會使得電場太強 ($\uparrow E = \frac{V}{L} \downarrow$) 加劇SCE甚至導致Breakdown

$$I_{D, \text{scale}} = \frac{1}{2} \mu (\alpha C_{ox}) \frac{W/\alpha}{L/\alpha} (V_{GS} - V_{TH})^2$$

$$= \alpha \frac{1}{2} \mu C_{ox} \frac{W}{L} (V_{GS} - V_{TH})^2$$

$$g_{m, \text{scale}} = \mu (\alpha C_{ox}) \frac{W/\alpha}{L/\alpha} V_{OV} = \alpha \mu C_{ox} \frac{W}{L} V_{OV}$$

$$r_{o, \text{scale}} = \frac{1}{(\alpha \lambda)(\alpha I_0)} = \frac{1}{\alpha^2} \frac{1}{\lambda I_0}$$

$$P_{\text{scale}} = I V = (\alpha I)(V) = \alpha I V$$

C.

如果單純以Constant -Field Scaling 的話
會將Power Supply 及 V_{th} 也一起往下拉，將使得Vole Swing 及 SNR較差，而 V_{th} 變小則會使得漏電流變大
但如果以Constant - Voltage Scaling 則可能會因為電場太大加劇SCE，因此實際上會使用混合Constant Field及Constant Voltage 的方式來做。

HW2.2

a.

1. subthreshold behavior

當 MOSFET 操作於 subthreshold region

$$I_D = \mu C_d \frac{W}{L} V_T^2 e^{\frac{V_{ov}}{nV_T}} (1 - e^{-\frac{V_{DS}}{V_T}}) \quad \text{其中 } n = 1 + \frac{C_d}{C_{ox}}$$

假設 $V_{DS} > 4V_T$ 則 $I_D \approx \mu C_d \frac{W}{L} V_T^2 e^{\frac{V_{ov}}{nV_T}}$

$$S = \left[\frac{\partial (\log I_D)}{\partial V_{GS}} \right]^{-1} = 2.3 \underbrace{V_T}_{\frac{KT}{q}} \left(1 + \frac{C_d}{C_{ox}} \right)$$

→ 越小越好

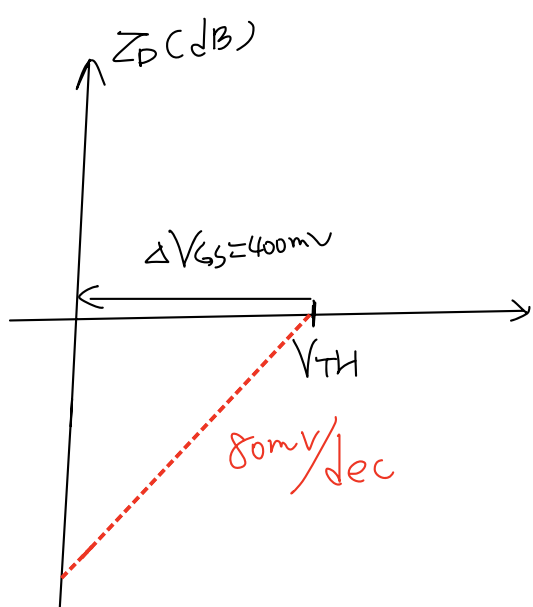
如果 $S = 80 \text{ mV/dec}$ 且 $\Delta V_{GS} = 400 \text{ mV}$

如果希望 $\frac{I_{on}}{I_{off}} = 10^5$

則 $V_{TH(\min)} = 400 \text{ mV}$

才可滿足此條件

當 S 變化時, $V_{TH(\min)}$ 會跟著改變。



2. Process corner variation

因為製程變異產生出不同的Corner，而使 V_{TH} 有所改變

例如：SNFP 則表示 Nmos 慢 Pmos 快

因此 Nmos 的 V_{TH} 會比原本在 TT Corner 下的還要大

Pmos 的 V_{TH} 會比 TT Corner 下的小

3. Temperature variation
 V_{TH} 会呈负温度系数

$$\frac{dV_{TH}}{dT} = -\frac{1}{T} \left[\frac{E_g}{2q} - \phi_f \right] \left[2 + \frac{\gamma}{\sqrt{2\phi_f}} \right]$$

> 0

Assume that the source-body voltage is zero. Substituting (1.138) into (1.139) gives

$$V_t = \frac{\sqrt{2qN_A\epsilon}(2\phi_f)}{C_{ox}} + 2\phi_f + \phi_{ms} - \frac{Q_{ss}}{C_{ox}} \quad (1.167)$$

Assume that ϕ_{ms} , Q_{ss} , and C_{ox} are independent of temperature.¹⁹ Then differentiating (1.167) gives

$$\frac{dV_t}{dT} = \frac{\sqrt{2qN_A\epsilon}(2)}{2C_{ox}\sqrt{\phi_f}} \frac{d\phi_f}{dT} + 2\frac{d\phi_f}{dT} = \frac{d\phi_f}{dT} \left[2 + \frac{1}{C_{ox}} \sqrt{\frac{qN_A\epsilon}{\phi_f}} \right] \quad (1.168)$$

Substituting (1.136) into (1.135) gives

$$\phi_f = \frac{kT}{q} \ln \left[\frac{N_A \exp\left(\frac{E_g}{2kT}\right)}{\sqrt{N_c N_v}} \right] \quad (1.169)$$

Assume both N_c and N_v are independent of temperature.²⁰ Then differentiating (1.169) gives

$$\frac{d\phi_f}{dT} = \frac{kT}{q} \left[-\frac{E_g}{2kT^2} \right] + \frac{k}{q} \ln \left[\frac{N_A \exp\left(\frac{E_g}{2kT}\right)}{\sqrt{N_c N_v}} \right] \quad (1.170)$$

Substituting (1.169) into (1.170) and simplifying gives

$$\frac{d\phi_f}{dT} = -\frac{E_g}{2qT} + \frac{\phi_f}{T} = -\frac{1}{T} \left[\frac{E_g}{2q} - \phi_f \right] \quad (1.171)$$

$$\frac{dV_t}{dT} = -\frac{1}{T} \left[\frac{E_g}{2q} - \phi_f \right] \left[2 + \frac{\gamma}{\sqrt{2\phi_f}} \right] \quad (1.172)$$

Equation 1.172 shows that the threshold voltage falls with increasing temperature if $\phi_f < E_g/(2q)$. The slope is usually in the range of $-0.5 \text{ mV}/^\circ\text{C}$ to $-4 \text{ mV}/^\circ\text{C}$.²¹

4. Body effect

當逆向偏壓 (V_{SB}) 加大時，使得空乏區變寬

因此在空乏區中的電荷將會增加 Q_{dep} ↓

$$\text{由 } V_{TH} = \phi_{ms} + 2\phi_f + \frac{Q_{dep}}{C_{ox}}$$

5.

Drain-Induced Barrier lowering (DIBL)

當 L 較小時且當 V_{DS} 上升時，會使得 Drain 的空乏區深入通道下方幫忙建立空乏區，因此對於產生相同的空乏區電荷所需的 V_{GS} 下降了，因為有 Drain 端的空乏區電荷共享 (Charge Sharing)，因此等同 V_{TH} 下降了。

HW 2.3

$$I_D = \underbrace{\frac{1}{2} \mu_0 C_{ox} \frac{W}{L}}_K \frac{(V_{GS} - V_{TH})^2}{1 + \underbrace{\left(\frac{\mu_0}{2 v_{sat} L} + \theta \right)}_a (V_{GS} - V_{TH})}$$

$$I_D = K \frac{V_{ov}^2}{1 + a V_{ov}^2}$$

$$\frac{\partial I_D}{\partial V_{GS}} = K \frac{2 V_{ov} (1 + a V_{ov}) - a V_{ov}^2}{(1 + a V_{ov})^2}$$

$$g_m = \frac{K V_{ov}^2}{(1 + a V_{ov})} \frac{\frac{2}{V_{ov}} (1 + a V_{ov}) - a}{(1 + a V_{ov})} = I_D \frac{\frac{2}{V_{ov}} (1 + a V_{ov}) - a}{(1 + a V_{ov})}$$

$$\Rightarrow g_m = \frac{I_D}{V_{ov}} \frac{2(1 + a V_{ov}) - a V_{ov}}{(1 + a V_{ov})} = \frac{I_D}{V_{ov}} \frac{2 + a V_{ov}}{(1 + a V_{ov})}$$

$$\Rightarrow g_m = \frac{I_D}{V_{ov}} \left[1 + \frac{1}{1 + a V_{ov}} \right]$$

$$a = \frac{\mu_0}{2 v_{sat} L} + \theta$$

$$\Rightarrow g_m = \frac{I_D}{(V_{GS} - V_{TH})} \left[1 + \frac{1}{1 + \left(\frac{\mu_0}{2 v_{sat} L} + \theta \right) (V_{GS} - V_{TH})} \right]$$